

MATERIAL SUPLEMENTAR A3MMS1

MODELAGEM NUMÉRICA

LISTA DE FIGURAS

- Figura 1: Evolução temporal de corrente superficial (superior) e corrente de fundo (inferior) medidas no F1 no período de 1 de novembro de 2018 a 30 de setembro de 2020. Os períodos de realização das campanhas de coletas de dados *in situ* no ambiente marinho são destacados pelas faixas verticais vermelhas. As áreas azuis e cinza indicam os períodos chuvoso e seco para a região.3
- Figura 2: Evolução temporal de corrente superficial (superior) e corrente de fundo (inferior) medidas no F2 no período de 1 de novembro de 2018 a 30 de setembro de 2020. Os períodos de realização das campanhas de coletas de dados *in situ* no ambiente marinho são destacados pelas faixas verticais vermelhas. As áreas azuis e cinza indicam os períodos chuvoso e seco para a região.4
- Figura 3: Evolução temporal de corrente superficial (superior) e corrente de fundo (inferior) medidas no F3 no período de 1 de novembro de 2018 a 30 de setembro de 2020. Os períodos de realização das campanhas de coletas de dados *in situ* no ambiente marinho são destacados pelas faixas verticais vermelhas. As áreas azuis e cinza indicam os períodos chuvoso e seco para a região.5
- Figura 4: Evolução temporal de corrente superficial (superior) e corrente de fundo (inferior) medidas no F4 no período de 1 de novembro de 2018 a 30 de setembro de 2020. Os períodos de realização das campanhas de coletas de dados *in situ* no ambiente marinho são destacados pelas faixas verticais vermelhas. As áreas azuis e cinza indicam os períodos chuvoso e seco para a região.6
- Figura 5: Evolução temporal de altura significativa – h_s - (superior), período de pico de onda – tp - (meio) e direção de pico de onda – dp - (inferior), medidas no F1 no período de 1 de novembro de 2018 a 30 de setembro de 2020. Os períodos de realização das campanhas de coletas de dados *in situ* no ambiente marinho são destacados pelas faixas verticais vermelhas. As áreas azuis e cinza indicam os períodos chuvoso e seco para a região.7
- Figura 6: Evolução temporal de altura significativa – h_s - (superior), período de pico de onda – tp - (meio) e direção de pico de onda – dp - (inferior), medidas no F2 no período de 1 de novembro de 2018 a 30 de setembro de 2020. Os períodos de realização das campanhas de coletas de dados *in situ* no ambiente marinho são destacados pelas faixas verticais vermelhas. As áreas azuis e cinza indicam os períodos chuvoso e seco para a região.8
- Figura 7: Evolução temporal de altura significativa – h_s - (superior), período de pico de onda – tp - (meio) e direção de pico de onda – dp - (inferior), medidas no F3 no período de 1 de novembro de 2018 a 30 de setembro de 2020. Os períodos de realização das campanhas de coletas de dados *in situ* no ambiente marinho são destacados pelas faixas verticais vermelhas. As áreas azuis e cinza indicam os períodos chuvoso e seco para a região.9
- Figura 8: Evolução temporal de altura significativa – h_s - (superior), período de pico de onda – tp - (meio) e direção de pico de onda – dp - (inferior), medidas no F4 no período de 1 de novembro de 2018 a 30 de setembro de 2020. Os períodos de realização das campanhas de coletas de dados *in situ* no ambiente marinho são destacados pelas faixas verticais vermelhas. As áreas azuis e cinza indicam os períodos chuvoso e seco para a região.10

Figura 9: Evolução temporal de turbidez superficial (superior) e turbidez de fundo (inferior) medidas no F1 no período de 1 de novembro de 2018 a 30 de setembro de 2020. Os períodos de realização das campanhas de coletas de dados *in situ* no ambiente marinho são destacados pelas faixas verticais vermelhas. As áreas azuis e cinza indicam os períodos chuvoso e seco para a região.11

Figura 10: Evolução temporal de turbidez superficial (superior) e turbidez de fundo (inferior) medidas no F2 no período de 1 de novembro de 2018 a 30 de setembro de 2020. Os períodos de realização das campanhas de coletas de dados *in situ* no ambiente marinho são destacados pelas faixas verticais vermelhas. As áreas azuis e cinza indicam os períodos chuvoso e seco para a região.12

Figura 11: Evolução temporal de turbidez superficial (superior) e turbidez de fundo (inferior) medidas no F3 no período de 1 de novembro de 2018 a 30 de setembro de 2020. Os períodos de realização das campanhas de coletas de dados *in situ* no ambiente marinho são destacados pelas faixas verticais vermelhas. As áreas azuis e cinza indicam os períodos chuvoso e seco para a região.13

Figura 12: Evolução temporal de turbidez superficial (superior) e turbidez de fundo (inferior) medidas no F4 no período de 1 de novembro de 2018 a 30 de setembro de 2020. Os períodos de realização das campanhas de coletas de dados *in situ* no ambiente marinho são destacados pelas faixas verticais vermelhas. As áreas azuis e cinza indicam os períodos chuvoso e seco para a região.14

Figura 1: Evolução temporal de corrente superficial (superior) e corrente de fundo (inferior) medidas no F1 no período de 1 de novembro de 2018 a 30 de setembro de 2020. Os períodos de realização das campanhas de coletas de dados *in situ* no ambiente marinho são destacados pelas faixas verticais vermelhas. As áreas azuis e cinza indicam os períodos chuvoso e seco para a região.

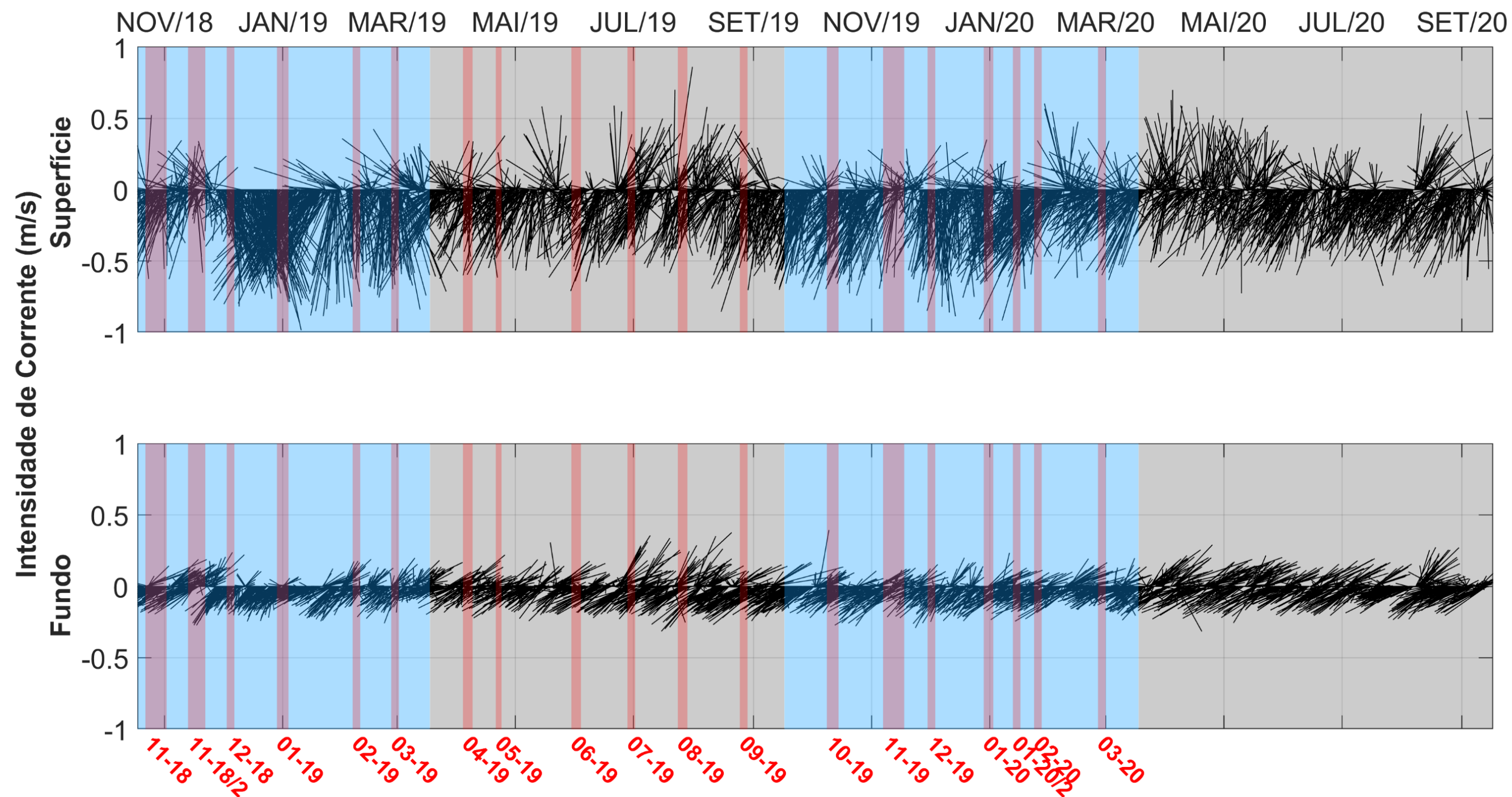


Figura 2: Evolução temporal de corrente superficial (superior) e corrente de fundo (inferior) medidas no F2 no período de 1 de novembro de 2018 a 30 de setembro de 2020. Os períodos de realização das campanhas de coletas de dados *in situ* no ambiente marinho são destacados pelas faixas verticais vermelhas. As áreas azuis e cinza indicam os períodos chuvoso e seco para a região.

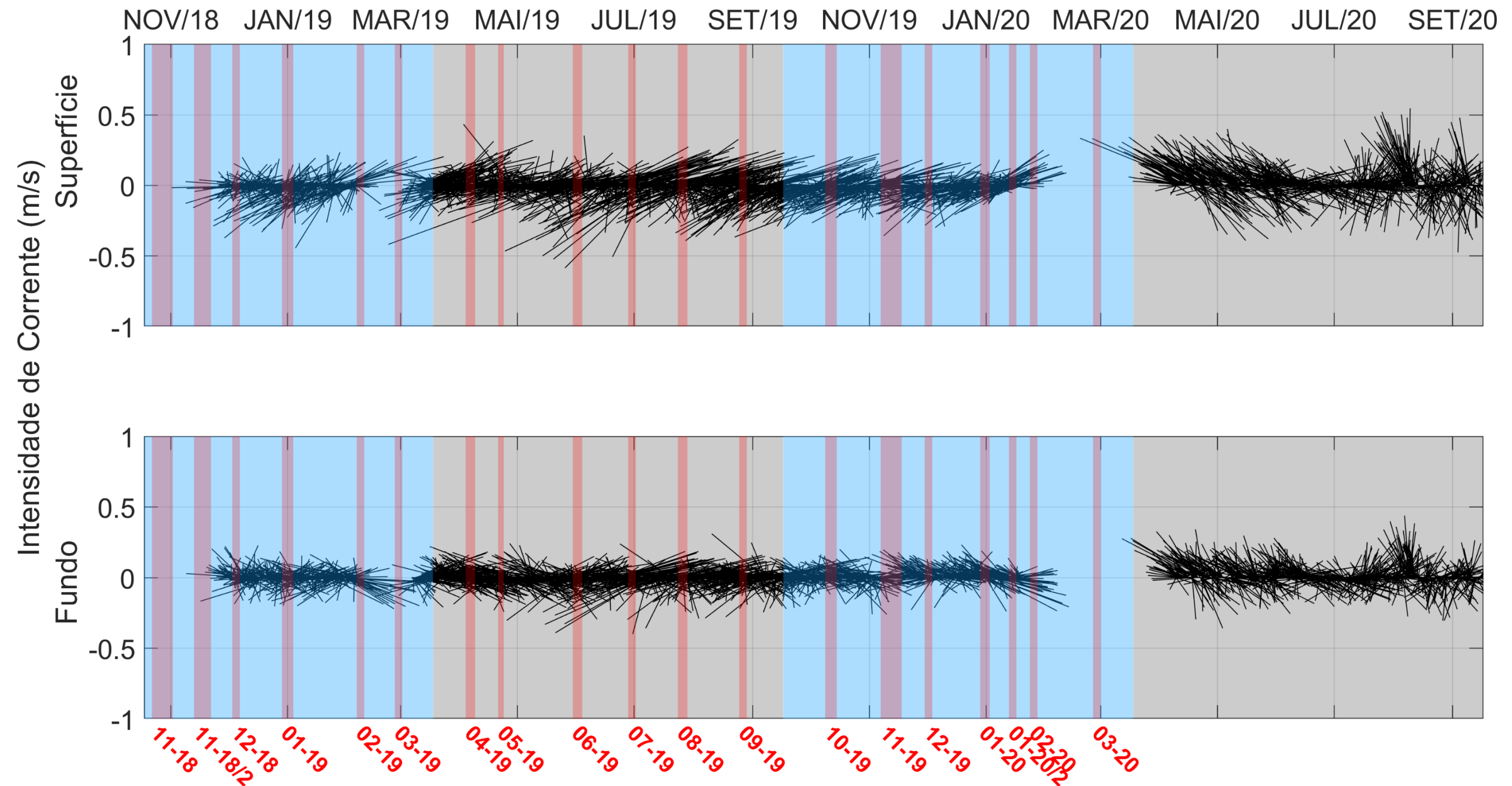


Figura 3: Evolução temporal de corrente superficial (superior) e corrente de fundo (inferior) medidas no F3 no período de 1 de novembro de 2018 a 30 de setembro de 2020. Os períodos de realização das campanhas de coletas de dados *in situ* no ambiente marinho são destacados pelas faixas verticais vermelhas. As áreas azuis e cinza indicam os períodos chuvoso e seco para a região.

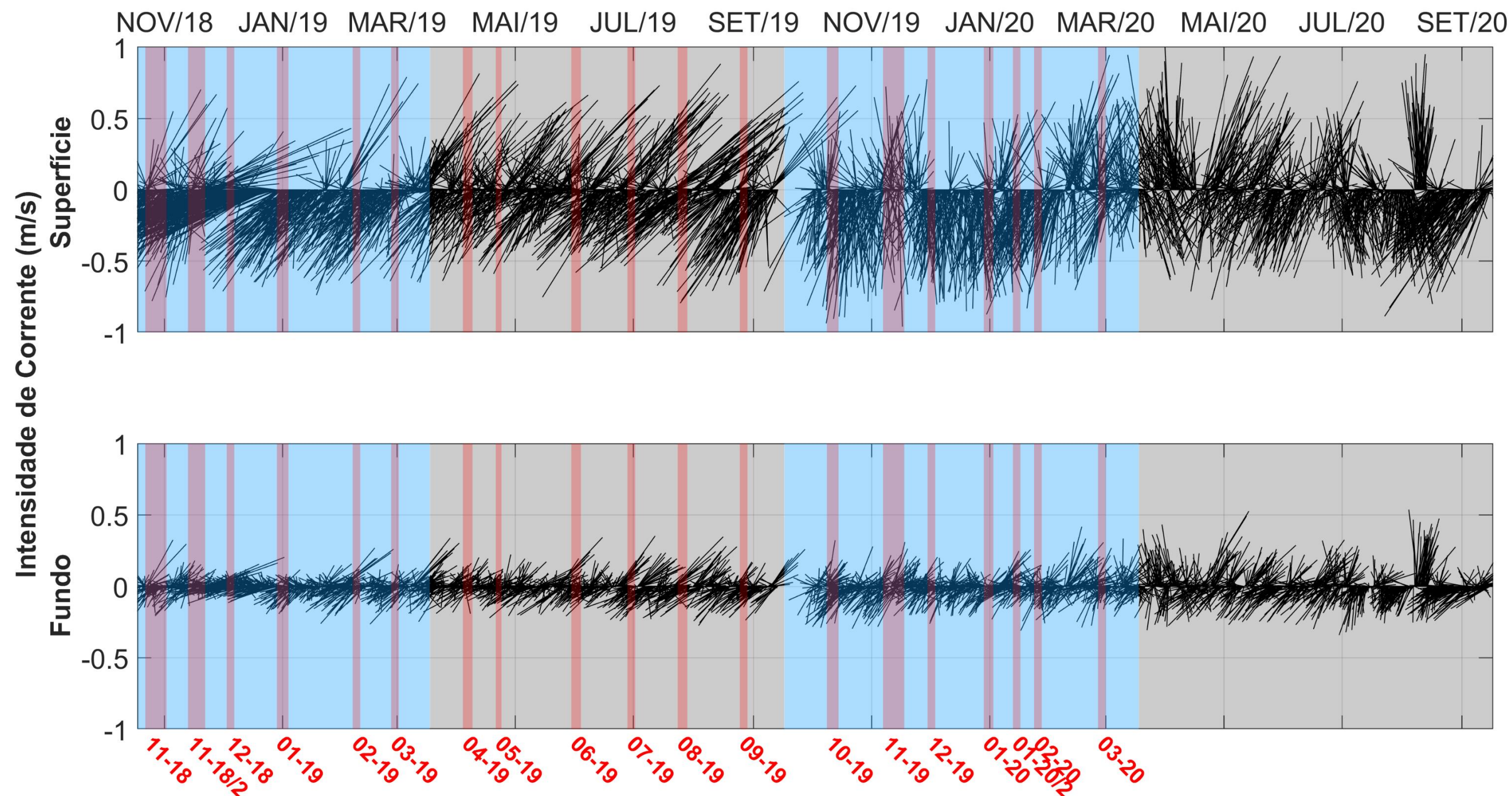


Figura 4: Evolução temporal de corrente superficial (superior) e corrente de fundo (inferior) medidas no F4 no período de 1 de novembro de 2018 a 30 de setembro de 2020. Os períodos de realização das campanhas de coletas de dados *in situ* no ambiente marinho são destacados pelas faixas verticais vermelhas. As áreas azuis e cinza indicam os períodos chuvoso e seco para a região.

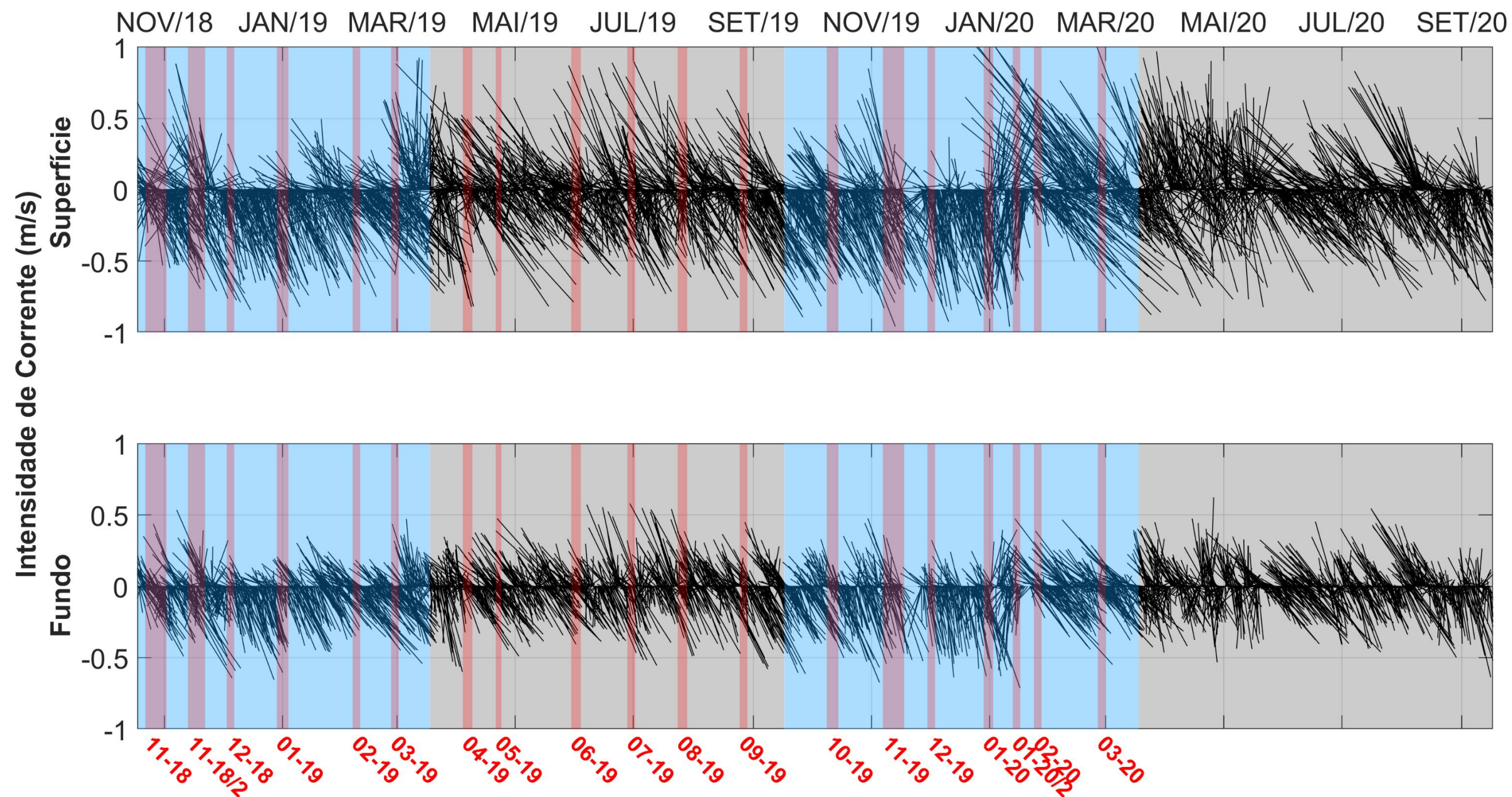


Figura 5: Evolução temporal de altura significativa – h_s - (superior), período de pico de onda – tp - (meio) e direção de pico de onda – dp - (inferior), medidas no F1 no período de 1 de novembro de 2018 a 30 de setembro de 2020. Os períodos de realização das campanhas de coletas de dados *in situ* no ambiente marinho são destacados pelas faixas verticais vermelhas. As áreas azuis e cinza indicam os períodos chuvoso e seco para a região.

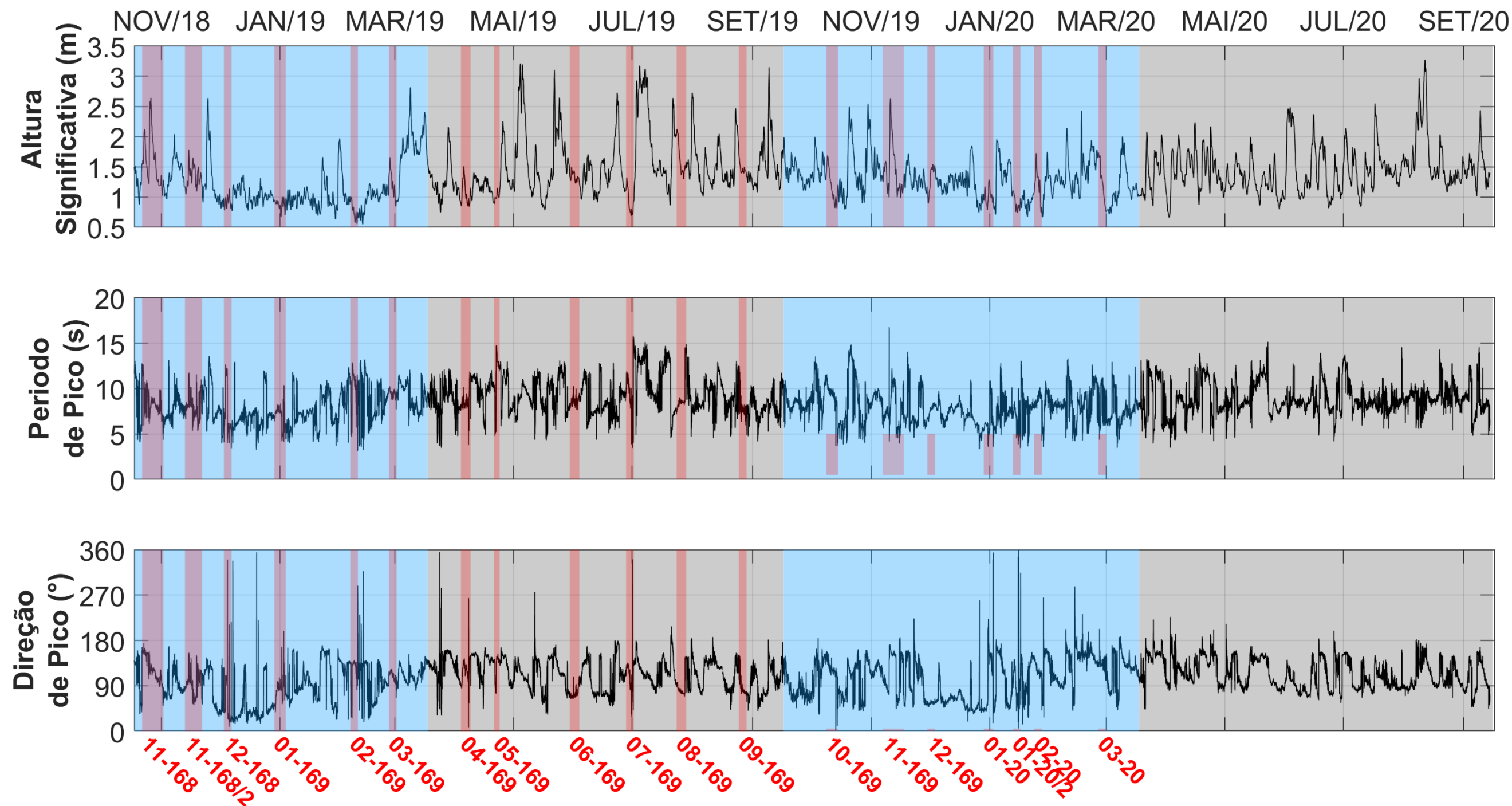


Figura 6: Evolução temporal de altura significativa – h_s - (superior), período de pico de onda – t_p - (meio) e direção de pico de onda – d_p - (inferior), medidas no F2 no período de 1 de novembro de 2018 a 30 de setembro de 2020. Os períodos de realização das campanhas de coletas de dados *in situ* no ambiente marinho são destacados pelas faixas verticais vermelhas. As áreas azuis e cinza indicam os períodos chuvoso e seco para a região.

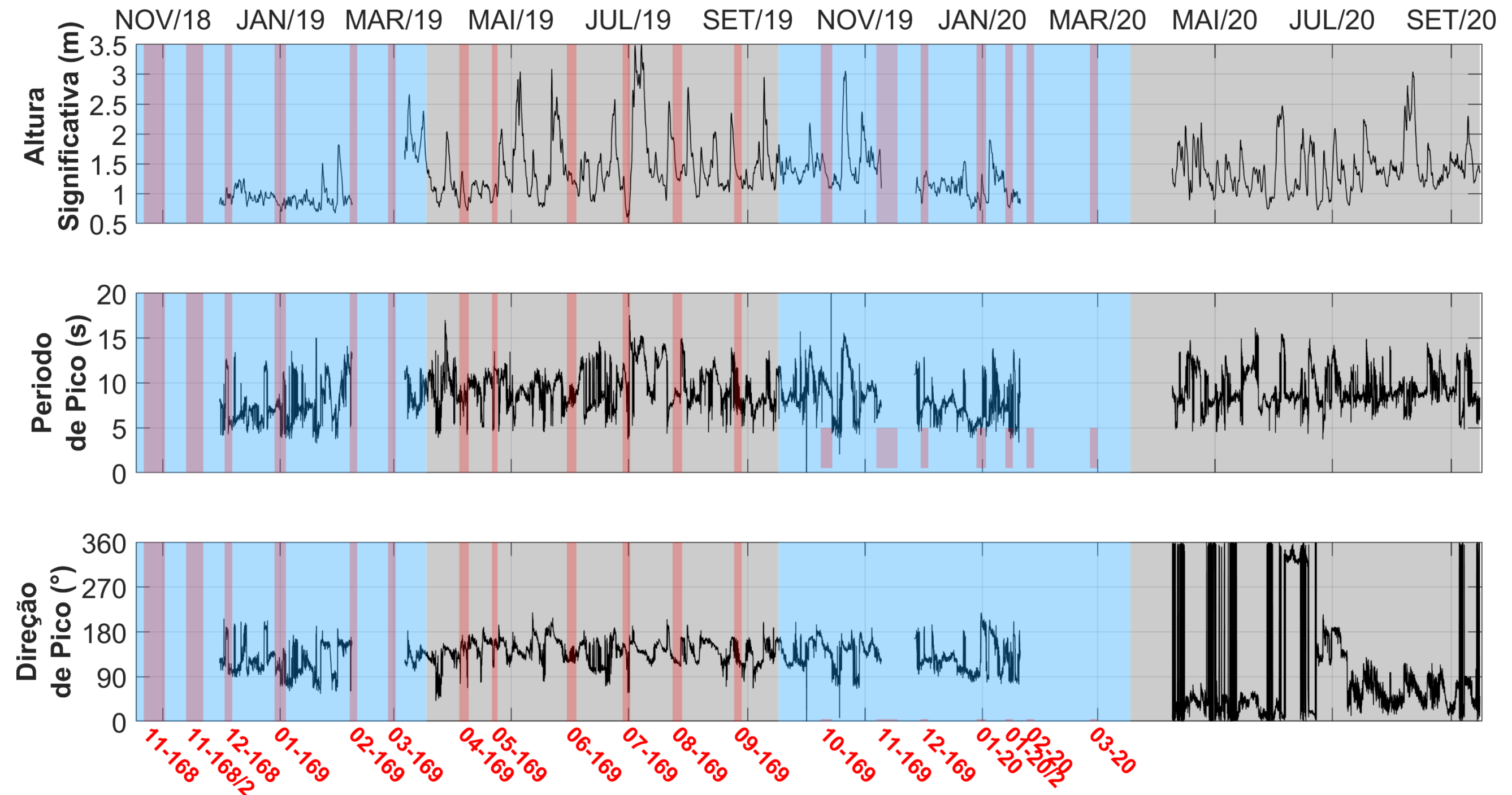


Figura 7: Evolução temporal de altura significativa – h_s - (superior), período de pico de onda – tp - (meio) e direção de pico de onda – dp - (inferior), medidas no F3 no período de 1 de novembro de 2018 a 30 de setembro de 2020. Os períodos de realização das campanhas de coletas de dados *in situ* no ambiente marinho são destacados pelas faixas verticais vermelhas. As áreas azuis e cinza indicam os períodos chuvoso e seco para a região.

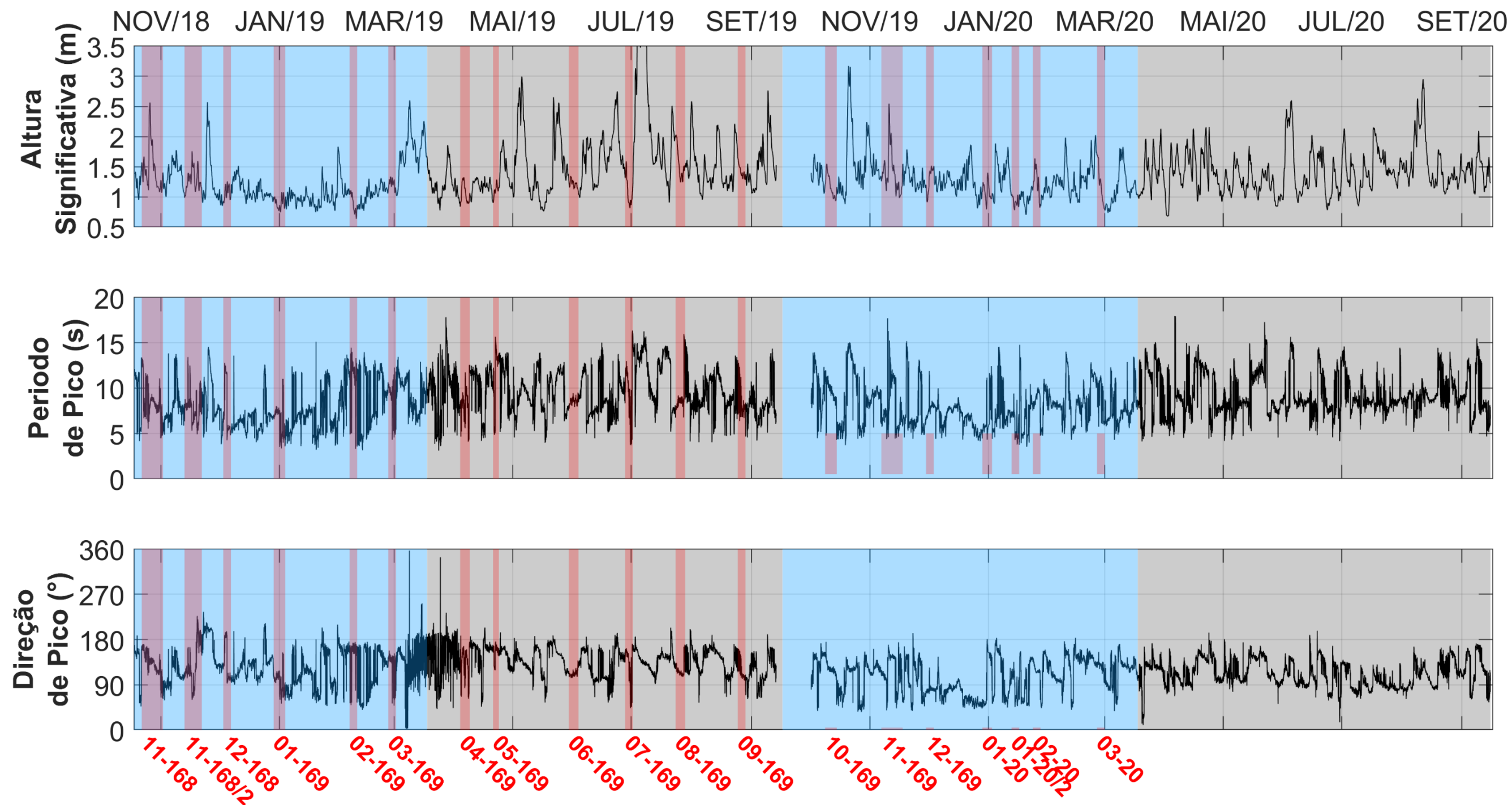


Figura 8: Evolução temporal de altura significativa – h_s - (superior), período de pico de onda – tp - (meio) e direção de pico de onda – dp - (inferior), medidas no F4 no período de 1 de novembro de 2018 a 30 de setembro de 2020. Os períodos de realização das campanhas de coletas de dados *in situ* no ambiente marinho são destacados pelas faixas verticais vermelhas. As áreas azuis e cinza indicam os períodos chuvoso e seco para a região.

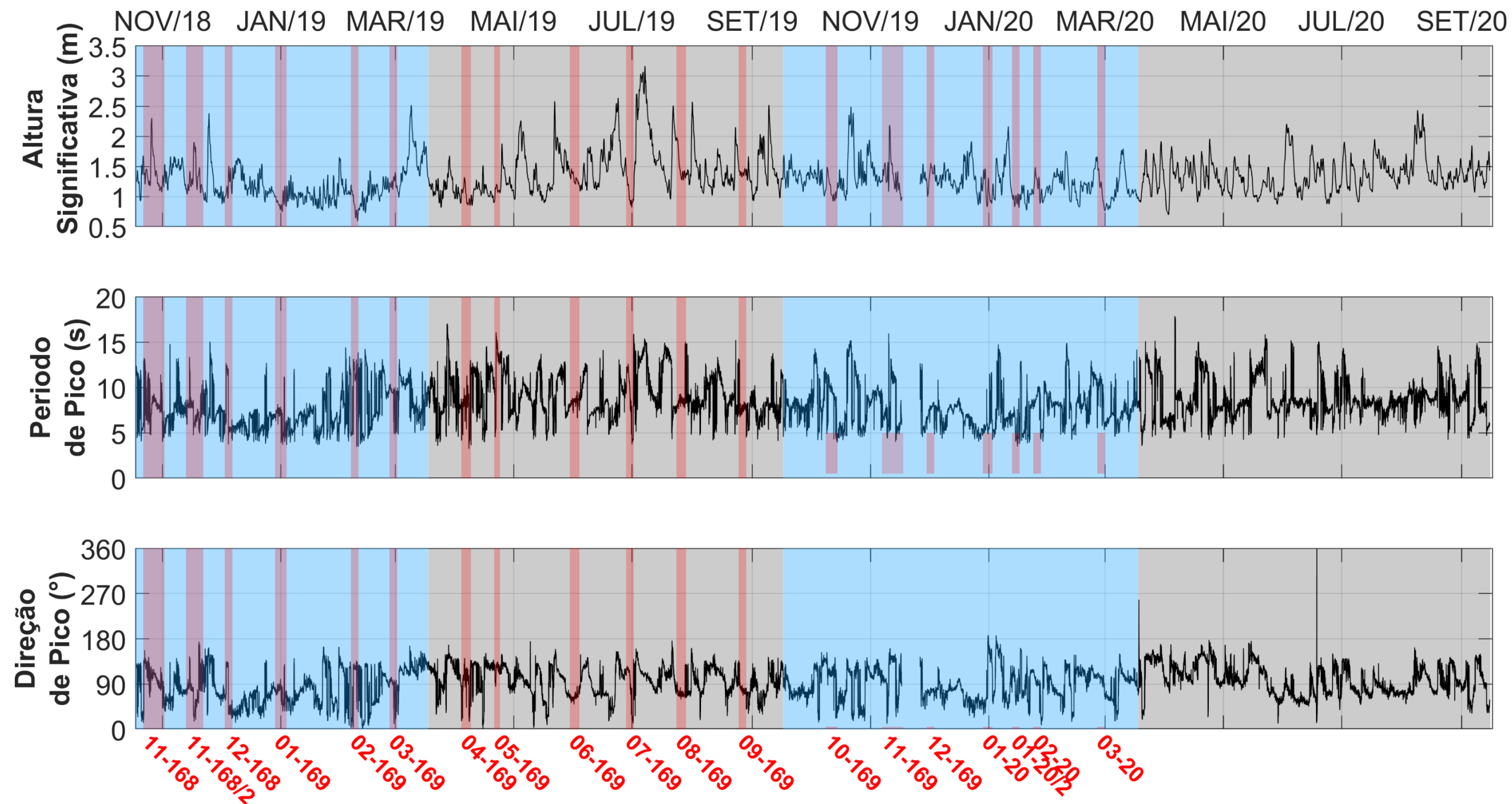


Figura 9: Evolução temporal de turbidez superficial (superior) e turbidez de fundo (inferior) medidas no F1 no período de 1 de novembro de 2018 a 30 de setembro de 2020. Os períodos de realização das campanhas de coletas de dados *in situ* no ambiente marinho são destacados pelas faixas verticais vermelhas. As áreas azuis e cinza indicam os períodos chuvoso e seco para a região.

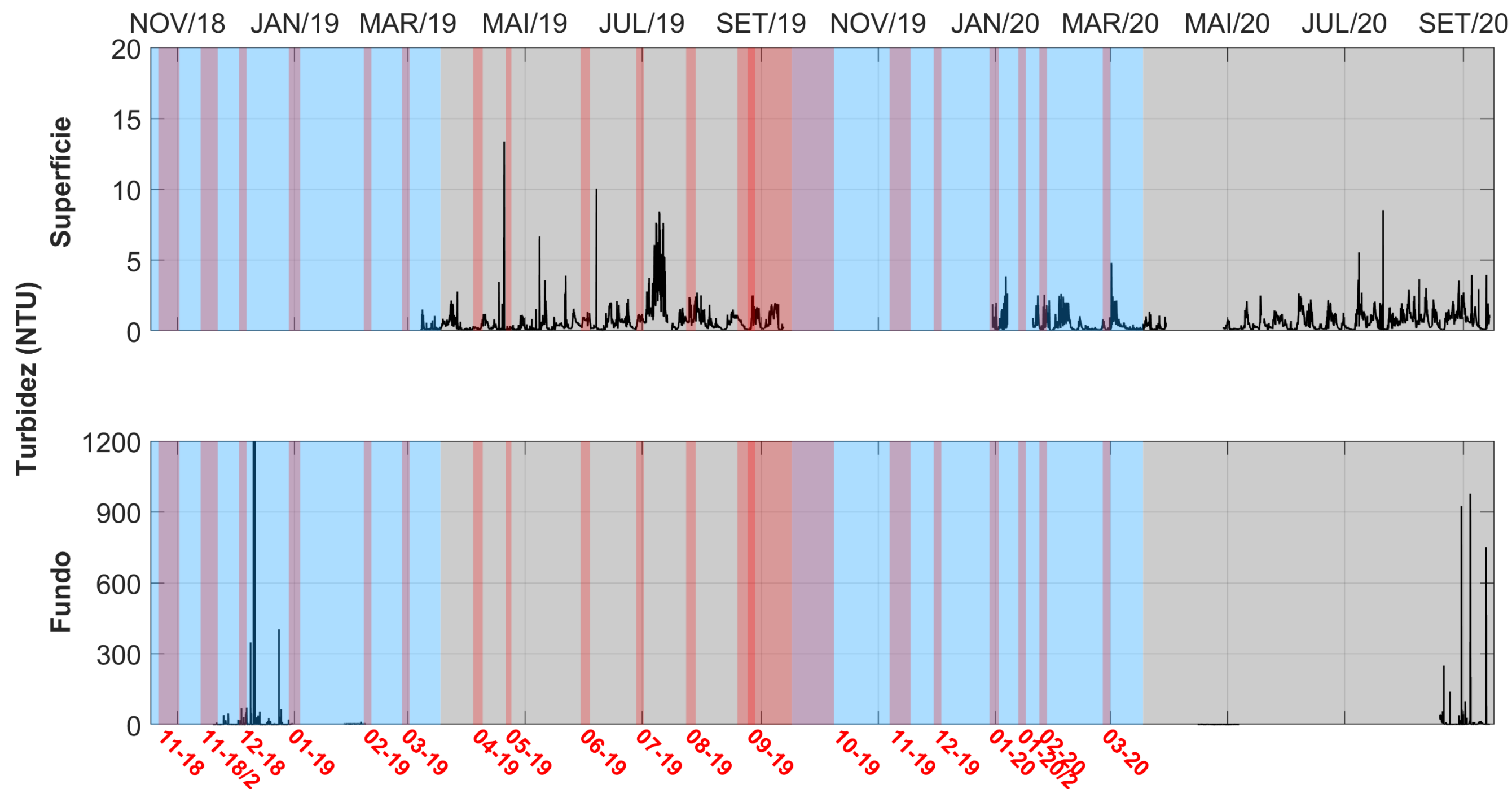


Figura 10: Evolução temporal de turbidez superficial (superior) e turbidez de fundo (inferior) medidas no F2 no período de 1 de novembro de 2018 a 30 de setembro de 2020. Os períodos de realização das campanhas de coletas de dados *in situ* no ambiente marinho são destacados pelas faixas verticais vermelhas. As áreas azuis e cinza indicam os períodos chuvoso e seco para a região.

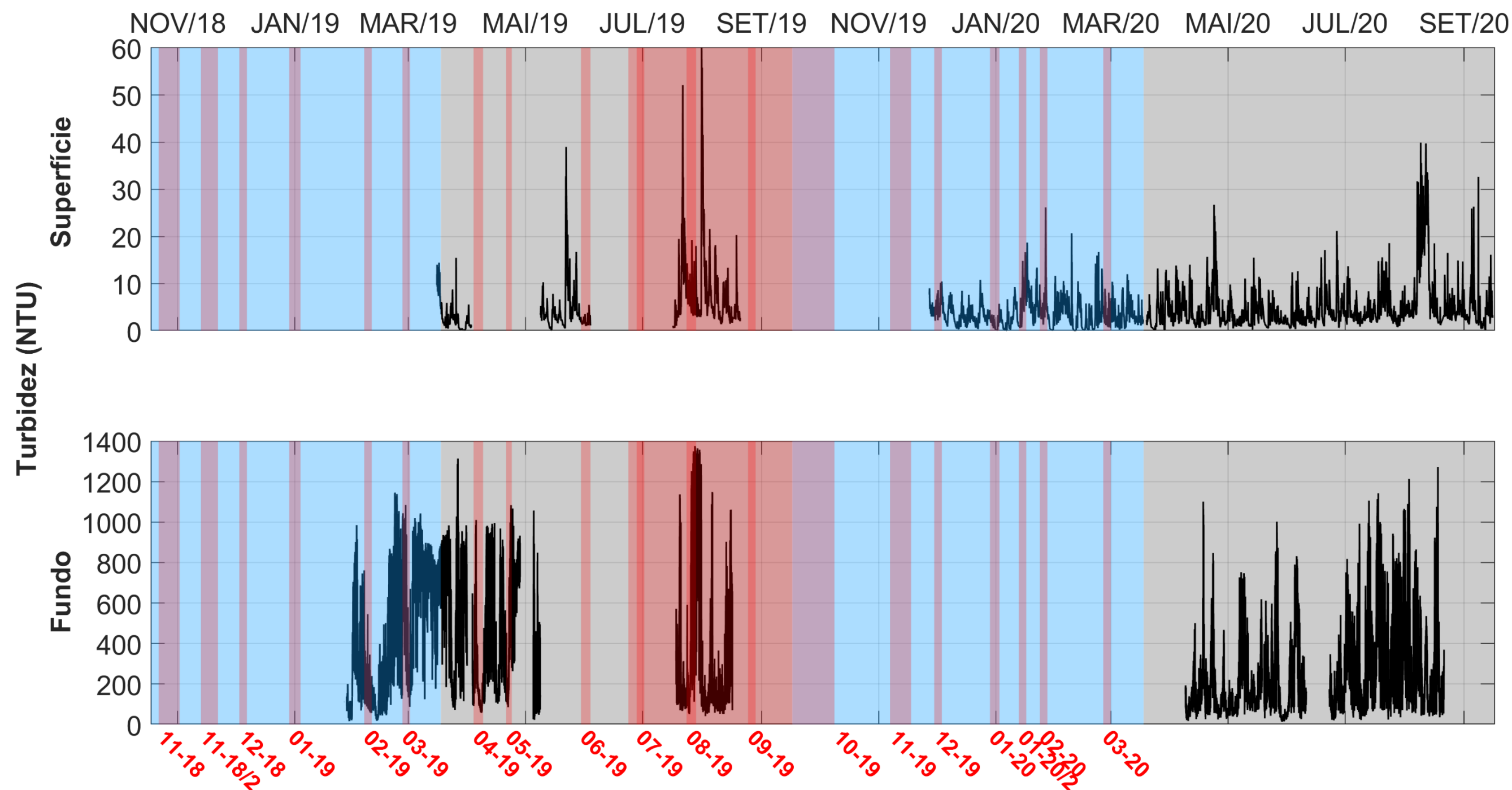


Figura 11: Evolução temporal de turbidez superficial (superior) e turbidez de fundo (inferior) medidas no F3 no período de 1 de novembro de 2018 a 30 de setembro de 2020. Os períodos de realização das campanhas de coletas de dados *in situ* no ambiente marinho são destacados pelas faixas verticais vermelhas. As áreas azuis e cinza indicam os períodos chuvoso e seco para a região.

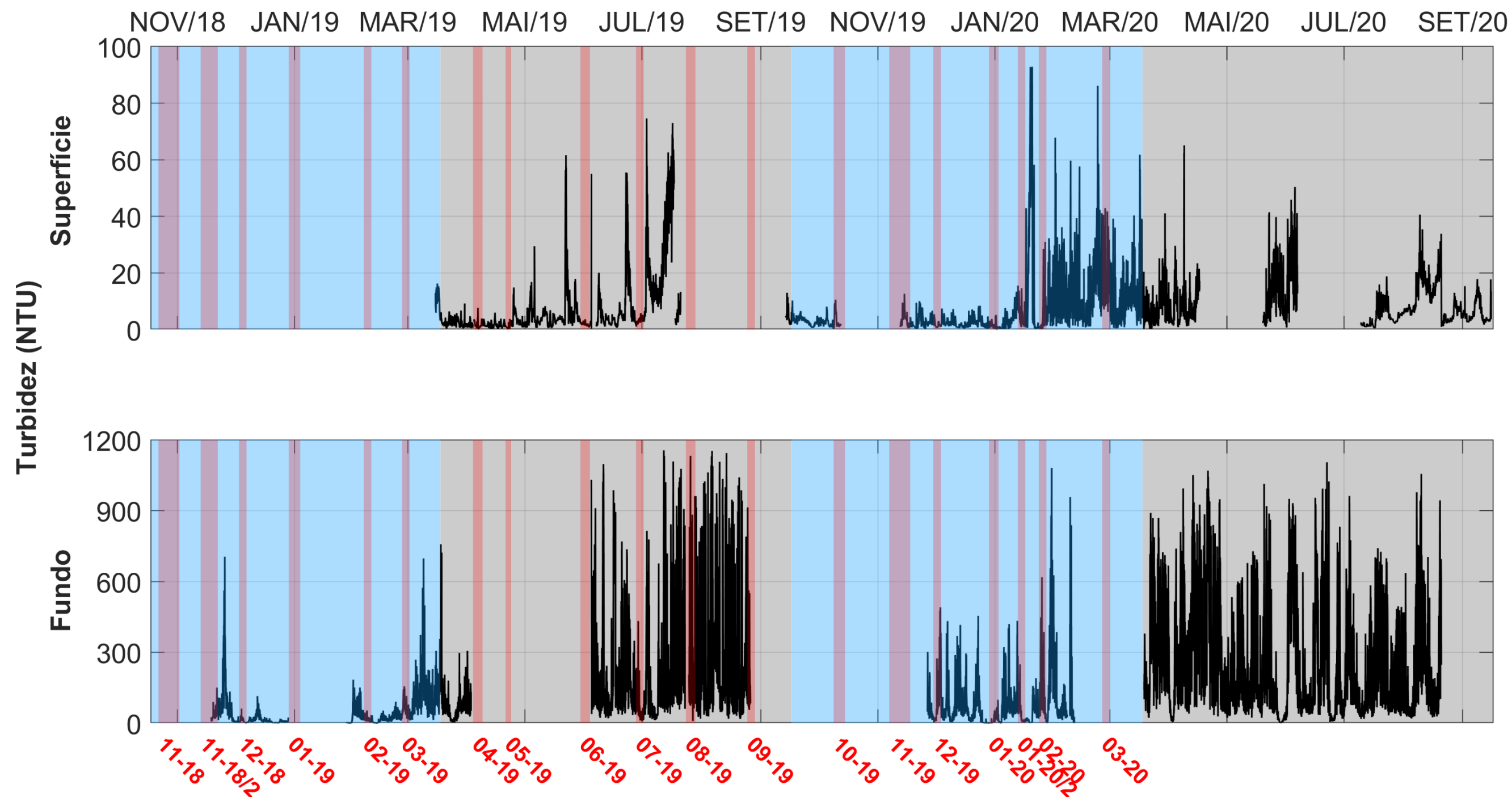


Figura 12: Evolução temporal de turbidez superficial (superior) e turbidez de fundo (inferior) medidas no F4 no período de 1 de novembro de 2018 a 30 de setembro de 2020. Os períodos de realização das campanhas de coletas de dados *in situ* no ambiente marinho são destacados pelas faixas verticais vermelhas. As áreas azuis e cinza indicam os períodos chuvoso e seco para a região.

